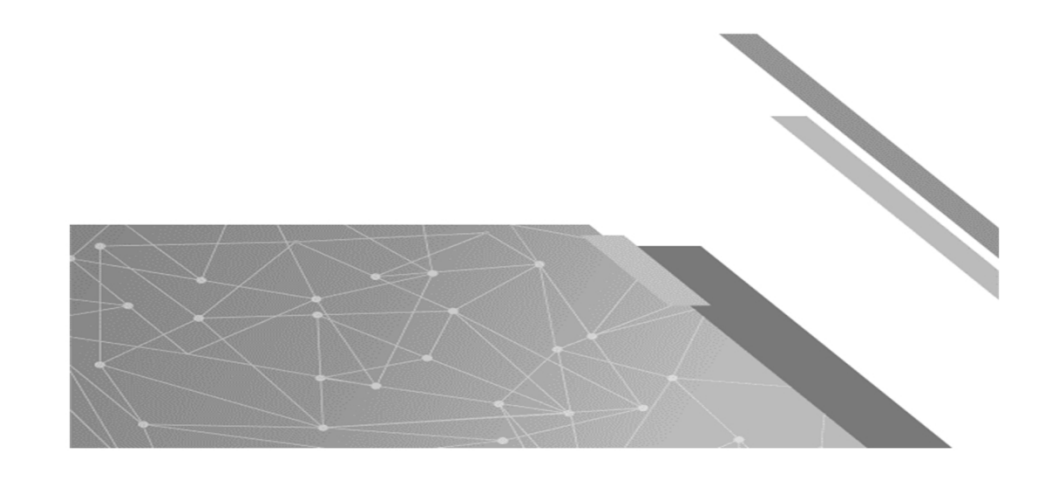


# EINDIMENSIONALE INSTATIONÄRE WÄRMELEITUNG

Entwicklung und Realisierung des · HALLESCHEN KALORIMETERS · für die Anwendung in der oberflächennahen Geothermie und der Verfahrenstechnik

$$\frac{\partial \vartheta}{\partial t} = \frac{a}{r} \frac{\partial}{\partial r} \left( r \frac{\partial \vartheta}{\partial r} \right)$$



# **Autor**

Jörg Laske Dipl.-Ing. (FH)

- www.larutec.de
- ♠ j.laske@larutec.de

Alle in diesem Buch enthaltenen Angaben, Daten, Ergebnisse etc. wurden vom Verfasser nach bestem Wissen erstellt und von ihm mit größtmöglicher Sorgfalt überprüft. Gleichwohl sind inhaltliche Fehler nicht völlig auszuschließen. Daher erfolgen die Angaben usw. ohne jegliche Verpflichtung und Garantie des Verfassers. Deshalb wird keinerlei Verantwortung und Haftung für etwaige inhaltliche Unrichtigkeiten übernommen.

ISBN 978-3-347-32388- ISBN 978-3-347-32555-5 9 (Hardcover) (Paperback) ISBN 978-3-347-32843-3 (e-Book)

Die Deutsche Nationalbibliothek verzeichnet diese Publikation in der Deutschen Nationalbibliografie; detaillierte bibliografische Daten sind im Internet über http://dnb.d-nb.de abrufbar.

© Ing.-Büro J. Laske, D 35080 Bad Endbach

Das Werk einschließlich aller seiner Teile ist urheberrechtlich geschützt. Alle Rechte der auszugsweisen oder vollständigen Wiedergabe sind vorbehalten. Vervielfältigungen und Veröffentlichungen sind nur mit Genehmigung des Verfassers gestattet.

Die Anschrift des Verlages ist: tredition GmbH, Halenreie 40-44, 22359 Hamburg

1. Auflage, Juni 2021

## **Tabellenkalkulation Microsoft Office Excel®**

In diesem Werk kommt explizit das Tabellenkalkulationsprogramm Microsoft® Office Excel® mit VBA (Visual Basic for Applications) zum den meisten Unternehmen Einsatz. weil es in Computerarbeitsplätzen verfügbar ist und in der Regel von den Mitarbeitern beherrscht wird. Außerdem ist im Rahmen der Entstehung des Halleschen Kalorimeters eine Software entwickelt worden, die für jedermann zugänglich gemacht und somit mehrheitlich den Technikern von angewandt werden Unbestritten kann auch für die Umsetzung der hier dessinierten jedes mathematischen Verfahren andere Tabellenkalkulationsprogramm verwendet werden. Eine offene auf die sich Darstellung, kein spezielles Tabellenkalkulationsprogramm bezieht, ist aufgrund der Komplexität unmöglich. Die Diagramme, Screenshots mit der Aufgabe Exceloberfläche und Tabellenergebnisse in diesem Dokument basieren auf Microsoft<sup>®</sup> Office Excel<sup>®</sup> und sind entsprechenden Stellen unmissverständlich, wenn erforderlich, deklariert worden, in dem der Verweis auf Office Excel® getätigt wurde. Selbst erstellte Illustrationen (Diagramme, Tabellen) bedürfen keiner weiteren Kennzeichnung auf den Urheber (©Ing.-Büro J. Laske), da sie schöpferisches Eigentum des Verfassers dieser wissenschaftlichen Abhandlung sind.

### Produkte und deren Hersteller

Dieses Dokument geht auf die Entwicklung und Konstruktion des Halleschen Kalorimeters ein. Dabei werden Produkte vorgestellt, die Entwicklungserfolg führten. **F**benso werden zum Konstruktionsangaben Messzylinder die zum gemacht, Herstellerprodukte mit einschließen. Die jeweiligen Produkte und deren Hersteller werden in diesem Werk namentlich an den jeweiligen Stellen benannt und ihre Produktfotos abgebildet. Die Veröffentlichungsplattform (Internetseite oder Printmedien) zu den Fotos wurde immer mit angegeben. Die bewusste Auswahl der Produkte garantierte das Gelingen dieses Entwicklungsvorhabens und diese aelten ausschließlich der wissenschaftlichen Konfrontation. Eine Produktbindung wird definitiv ausgeschlossen und es steht jedem frei, ein gleichwertiges Produkt einzusetzen bzw. zu verwenden.

# Wissenschaftliche Abhandlung

# EINDIMENSIONALE INSTATIONÄRE WÄRMELEITUNG IN RUHENDEN UND EINFACHEN KÖRPERN

# Methodik zur Bestimmung kalorischer Zustandsgrößen von oberflächennahen Lockergesteinsböden

verfasst von Diplom-Ingenieur (FH) **Jörg Laske** [geboren am 30. März 1961 in Halle/Saale]



Hallesches Kalorimeter (Messzylinder)

# INGENIEURBÜRO J. LASKE

Gebäudetechnik & Energieeffizienz

Landstraße 12

35080 Bad Endbach

#### Vorwort

Diese Ausarbeitung richtet sich an Ingenieure, denen eine praktische Anwendung der eindimensionalen, instationären Wärmeleitung aufgezeigt werden soll und in diesem Zusammenhang nützliche Hilfsmittel zur Analyse vorgestellt werden sollen.

Zu den Aufgaben in einem TGA Ingenieurbüro gehört u.a. die Planung von Wärmepumpenheizungsanlagen, deren Energiequelle sich außerhalb des Gebäudes befindet und Teil der Gesamtplanung ist. Die oberflächennahe Geothermie, insbesondere der Einsatz von horizontalen Erdkollektoren, steht dabei immer wieder im Fokus, wenn diese Verlegungsart zur Wärmeübertragung in Betracht gezogen wird.

Aufgrund dessen, dass ich als Heizungsplaner keine sicheren Kenntnisse über das im Erdreich vorherrschende thermodynamische Potential habe, bin ich zu Entschluss gekommen, dieses selbst zu eruieren. Dabei kommen mir meine erworbenen theoretischen Kenntnisse Technischen Hochschule Leipzig der Sektion Energietechnik in der Thermodynamik, Analysis und zuaute. vergessen Stochastik Nicht sind die zu iahrzehntelangen praktischen Erfahrungen als Entwicklungsingenieur in der Gasanwendungstechnik und in der Luftfahrttechnik.

Mein Ansporn lag nun darin, eine kostengünstige und einfache Prüfapparatur, genannt Hallesches Kalorimeter, zur besseren Bestimmung thermodynamischer Zustandsgrößen von Lockergesteinsböden zu entwickeln, dessen Messergebnisse in einem Tabellenkalkulationsprogramm analysiert und die kalorischen Kenngrößen berechnet werden. Hier sehe ich in der Anwendung ein erhebliches Potential zur energetischen Optimierung der Wärmepumpen für oberflächennahe Geothermie.

Des Weiteren möchte ich den Ingenieuren und den Technikern insbesondere den Studenten an den Fach- und Hochschulen zeigen, welche Vielzahl von Möglichkeiten Tabellenkalkulationsprogramme in der Analyse bieten. Denn diese Programme stehen an fast allen Arbeitsplätzen zur Verfügung. Es ist empfehlenswert, diese bei den täglichen Ingenieur- bzw. Technikeraufgaben zu verwenden.

Ein großer Dank gilt Herrn Professor Dr. Peter Wilde, welcher mich bei meinen mathematischen Problemen unterstützte. Ebenso möchte ich mich bei meinem Lektor Dipl.-Ing. Jörg Buhl für die kritische Durchsicht des Manuskriptes und die entsprechenden Verbesserungsvorschläge rechtherzlich bedanken.

Die in diesem Zusammenhang entwickelten Software-Tools können potentiellen Interessenten zur Verfügung gestellt werden. Es besteht z.B. die Möglichkeit das Analysesystem einschließlich weiterer Tools in Lehrveranstaltungen (Schulungsmaßnahmen, Vorlesungen an Fach- und Hochschulen) vorzustellen und das Thema praxisorientiert

visuell darzustellen. Das Hallesche Kalorimeter ist in seiner Komplexität sehr interessant, weil verschiedene Wissenschaften wie die Mathematik, die Thermodynamik und die Geologie ineinandergreifen.

Bad Endbach im Juni 2021

Jörg Laske

#### **Inhaltsverzeichnis**

- 1 Wissenschaftlicher Ansatz
- 2 Einführung
  - 2.1 Planungsablauf zur Errichtung einer Wärmepumpenheizungsanlage
  - 2.2 Oberflächennahe Geothermie
  - 2.3 Entzugsleistung
- 3 Verschiedene Messprinzipien von Kalorimetern
- 4 Theoretische Grundlagen
  - 4.1 Randbedingungen
  - 4.2 Wärme- und Energieströme
    - 4.2.1 Wärmestrom durch freie laminare Konvektion und Strahlung
    - 4.2.2 Quasiwärmedurchgang
    - 4.1.1 Verbleibende innere Energie
    - 4.2.3 Änderung der inneren Energie
    - 4.2.4 Synonymische Leistungen (Identität)
    - 4.2.5 Wärmestromdichte durch die Zylinderoberfläche

- 4.3 Thermodynamische Temperatur
  - 4.3.1 Logarithmische kalorische Mitteltemperatur
  - 4.3.2 Integrale kalorische Mitteltemperatur
  - 4.3.3 Kalorische Mitteltemperatur mittels Funktionsreihe
  - 4.3.4 Bemerkung
- 4.4 Temperaturprofil
- 4.5 Asymptotische Näherungsgleichungen von Fourier
  - 4.5.1 Dimensionslose Größen
  - 4.5.2 Kalorische Temperatur
  - 4.5.3 Oberflächentemperatur
  - 4.5.4 Mittentemperatur
- 4.6 Bodenkunde
  - 4.6.1 Massebezogener Feuchtigkeitsanteil
  - 4.6.2 Visuelle und fühlbare Bodenartbestimmung
- 5 Mathematische Verfahren zur automatisierten Analyse
  - 5.1 Regression
    - 5.1.1 Gauß'scher Algorithmus
    - 5.1.2 Nichtlineare Regression
    - 5.1.3 Quasilineare Regressionsfunktion

- 5.1.4 Korrelationsanalyse
- 5.1.5 Näherungsverfahren zur numerischen Berechnung
- 5.2 Integrale Temperatur des Temperaturprofils im Zylinder
- 5.3 Approximation zum konvektiven Wärmeübergangskoeffizienten
- 5.4 Integraler Mittelwert durch Teilung des Funktionsgraphen
- 5.5 Bestimmung der spezifischen Eigenwerte der Bessel-Funktion
- 5.6 Regressionsanalyse mit der Exponentialfunktion
- 5.7 Multiple Regressionsanalyse
  - 5.7.1 Formulierung des Rechenmodells
  - 5.7.2 Regressionsfunktionen der dimensionslosen Temperaturen
  - 5.7.3 Microsoft® Office Excel® Berechnungsblatt
- 6 Messapparatur
  - 6.1 Messverfahren
  - 6.2 Messzylinder
  - 6.3 Messaufbau
  - 6.4 Wärme- und Kühlschrank

- 7 Voruntersuchungen
  - 7.1 Voruntersuchung I
    - 7.1.1 Kühlschrank
    - 7.1.2 Wärmeschrank
  - 7.2 Voruntersuchung II
    - 7.2.1 Messzylinder im Wärmeschrank
    - 7.2.2 Einstellungen und Temperaturfühler
    - 7.2.3 Eignungstest des Wärmeschranks
    - 7.2.4 Schlussfolgerung
  - 7.3 Bestimmung der spezifischen Wärmekapazität
  - 7.4 Kontaktschicht
  - 7.5 Wärmemenge
  - 7.6 Störeinflüsse
    - 7.6.1 Raumtemperatur
    - 7.6.2 Mantelthermoelement
    - 7.6.3 Homogene Bodenprobe
  - 7.7 Festlegung
- 8 Referenzmaterialanalyse (Qualifikation durch Analyse)
  - 8.1 Vorbereitung
  - 8.2 Versuchsdurchführung

- 8.3 Auswertung der Referenzmessungen
  - 8.3.1 Vorbemerkung
  - 8.3.2 Referenzmaterial mit trockenen Quarzsanden
  - 8.3.3 Referenzmaterial mit feuchten Quarzsanden
- 8.4 Diskussion
- 9. Praktische Anwendung
  - 9.1 Bodenprobe
  - 9.2 Ergebnisse aus der Analyse
  - 9.3 Auswertung der Analysedaten
  - 9.4 Diskussion
- 10 Unsicherheit der Methodik
- 11 Software (Basisversion)
- 12 Software (Vollversion)
- 13 Konstruktion
- 14 Abriss, Ausblick und Konklusion

Anhang A · Mathematische Lösungen·

Anhang A1 ·Lösung der Fourier´schen Differentialgleichung

Anhang A2 ·Regression-Koeffizienten-Gleichungen·

Anhang B · Software WPSOURCE ·

Anhang C ·Bestimmung der Eigenwerte·

Anhang D · Messwerte der Referenzmessungen·

Anhang D1 ·RFMA1.1·

Anhang D2 ·RFMA1.2·

Anhang D3 ·RFMA2.0·

Anhang D4 ·RFMA4.0·

Anhang D5 ·RFMA5.0·

Anhang D6 ·RFMA9.2·

Anhang D7 ·RFMA10.0·

Anhang D8 ·RFMA11.0·

Anhang D9 ·RFMA14.0·

Anhang E · Messwerte/Auswertung der Praxismessungen·

Anhang E1 · Messwerte PRMA1.0 ·

Anhang E2 · Messwerte PRMA2.0 ·

Anhang E3 · Messwerte PRMA2.0 ·

Anhang E4 · Ausgabeblatt PRMA1.0 ·

Anhang E5 · Ausgabeblatt PRMA2.0·

Anhang E6 · Ausgabeblatt PRMA3.0 ·

Anhang E7 ·Wärmeübergangskoeffizient PRMA1.0·

Anhang E8 · Ergebnisse mit WPsource ·

Anhang F · Konstruktionsunterlagen ·

Anhang F1 ·Inkubator von Binder GmbH·

Anhang F2 ·Entlüftungsventil von Otto Ganter GmbH & Co. KG·

Anhang F3 ·Messzylinder, Zusammenbau·

Quellenangabe

Literatur

Abbildung

# **Mathematische Vorbereitungen**

# Lateinische Buchstaben

| Zeichen        | SI-Einheit        | Bedeutung                   |
|----------------|-------------------|-----------------------------|
| $\overline{T}$ | K                 | thermodynamische            |
|                |                   | Temperatur                  |
| t              | h, s              | Zeit                        |
| r              | m                 | Radius                      |
| $r_n$          | _                 | relativer Radius            |
| e              | _                 | Euler´sche Zahl oder Term   |
| $K_{k}$        | _                 | Entwicklungskoeffizient mit |
|                |                   | Summationsindex             |
| $J_{o}$        | _                 | Besselfunktion 1.Art und    |
|                |                   | 0`Ordnung                   |
| $J_{_1}$       | _                 | Besselfunktion 1.Art und    |
|                |                   | 1`Ordnung                   |
| Fo             | _                 | Fourier- Zahl               |
| x-y            | _                 | Ebene im kartesischen       |
|                |                   | Koordinatensystem           |
| R              | m                 | Außenradius                 |
| H              | m                 | Höhe                        |
| z – $Achse$    | _                 | Achse im kartesischen       |
|                |                   | Koordinatensystem           |
| $\dot{q}_E$    | $W/m^2$           | spezifische Entzugsleistung |
| S              | $J/(m^3 \cdot K)$ | Wärmespeicherzahl           |
|                |                   | (volumetrische spezifische  |
|                |                   | Wärmekapazität)             |
| $C_p$          | $J/(kg \cdot K)$  | spezifische Wärmekapazität  |
|                |                   | bei konstantem Druck        |
| $\dot{Q}_U$    | W                 | Leistung an Umgebung        |

| A                | $m^2$             | Fläche                                      |
|------------------|-------------------|---|
| Q                | W                 | Leistung                                    |
| Nu               | _                 | Nußelt-Zahl                                 |
| $Nu_{m,Z}$       | _                 | mittlere Nußelt-Zahl an dem<br>Zylinder     |
| L                | m                 | charakteristische Länge                     |
| $h_z$            | m                 | Höhe des Zylinders                          |
| $\boldsymbol{g}$ | $m/s^2$           | Erdbeschleunigung                           |
| Pr               | _                 | Prandtl-Zahl                                |
| Ra               | _                 | Rayleigh-Zahl                               |
| a                | $m^2/s$           | Temperaturleitkoeffizient                   |
| $f_{I}$          | _                 | Korrekturfaktor                             |
| $Nu_{m,P}$       | _                 | mittlere Nußelt-Zahl an der<br>Platte       |
| $d_z$            | m                 | Zylinderdurchmesser                         |
| $C_{12}$         | $W/(m \cdot K)$   | Strahlungsaustauschkoeffizient              |
| $C_s$            | $W/(m \cdot K)$   | Strahlungskoeffizient des schwarzen Körpers |
| $C_1$            | $W/(m \cdot K)$   | Strahlungskoeffizient von einem Körper      |
| $\dot{Q}_{K,U}$  | W                 | Leistung vom Körper an<br>Umgebung          |
| $k_{\it eff}$    | $W/(m^2 \cdot K)$ | effektiver                                  |
| ejj              | ( )               | Wärmedurchgangskoeffizient                  |
| $Q_{I}$          | Wh                | innere Energie                              |
| $\overline{V}$   | $m^3$             | Raumvolumen                                 |
| $Q_1$            | Wh                | Wärmemenge im Zustand 1,                    |
| - 1              |                   | Anfangsenthalpie                            |
| $Q_{1,2}$        | Wh                | abgegebene Wärmemenge                       |
|                  |                   | vom Zustand 1 auf Zustand 2                 |
| Bi               | _                 | Biot-Zahl                                   |
| ġο               | $W/m^2$           | Wärmestromdichte am<br>Zylindermantel       |
|                  |                   |   |

| $h_1$  | Wh/kg             | spezifische Enthalpie im<br>Zustand 1          |
|--|-------------------|--|
| $h_2$  | Wh/kg             | spezifische Enthalpie im                       |
| 112  | Willing           | Zustand 2                                      |
| q  | Wh/kg             | spezifische Wärme                              |
| S  | $Wh/(kg \cdot K)$ | spezifische Entropie                           |
| $\overline{T}_{LN}$                                      | K                 | logarithmische                                 |
|  |                   | Mitteltemperatur                               |
| $V_{_{\Sigma}}$  | $m^3$             | Gesamtvolumen über                             |
|  |                   | unendliche Schichten                           |
| $\dot{V}_{Fl.}$  | $m^3/h$           | Volumenstrom der Flüssigkeit                   |
| r  | m                 | Radius   |
| R  | m                 | Radius   |
| $r_n$  | _                 | relativer Radius: $0 \le r_n \le 1$            |
| $r_x$  | m                 | Radius im Bereich: $0 \le r_x \le R$           |
| Q  | _                 | Quadratsumme $\sum_{i=1}^{n} [y_i - f(x_i)]^2$ |
| $a_0$ $a_n$  | _                 | Koeffizient in Approximation;                  |
|  |                   | Term   |
| $\mathcal{C}$  | _                 | Term   |
| n  | _                 | Potenz, Zahl                                   |
| m  | _                 | Potenz   |
| d  | _                 | Zahl, Ziffer                                   |
| $b_{\scriptscriptstyle 0}\dots b_{\scriptscriptstyle n}$ | _                 | Koeffizient in Approximation                   |
| $R_{xy}$   | _                 | Korrelationskoeffizient                        |
| $\tilde{y}$  | _                 | Approximation, allgemein                       |
| $\widetilde{Pr}$   | _                 | Approximation der Prandtl-                     |
|  |                   | Zahl   |
| $C_0 \dots c_n$  | _                 | Koeffizient in Approximation                   |
| $T_b$  | K                 | Bezugstemperatur                               |
| $\widetilde{Gr}$   | _                 | Approximation Grashof-Zahl                     |
| $e_{0 \dots} e_{n}$                                      | _                 | Koeffizient in Approximation                   |
| f, u. f3   | _                 | Term   |
| 0 2 0  |                   |  |

| $Z_1$                         | 1/h              | Term Term $\left(\frac{a}{R^2}\right)$ |
|-------------------------------|------------------|--|
| k                             | _                | Summationsindex, Zählindex             |
| $NU\infty$                    | _                | Nußelt Langzeitasymptote               |
| $Nu_{or} Nu_{ot}$             | _                | Nußelt Kurzzeitasymptote               |
| $Nu$ , $Nu_t$                 | _                | Nußelt Überlagerung der                |
| , i                           |                  | Asymptoten                             |
| m                             | _                | Eigenwert oder Exponent                |
| $a^*_{v}$                     | _                | Konstante in                           |
| ŕ                             |                  | Näherungsgleichung von                 |
|                               |                  | Fourier                                |
| $m_{i}$                       | _                | Konstante in                           |
|                               |                  | Näherungsgleichung von                 |
| _                             |                  | Fourier                                |
| $b_{_t}$                      | _                | Konstante in                           |
|                               |                  | Näherungsgleichung von                 |
|                               | 1                | Fourier Manage for what Chaff          |
| $m_{tr}^{}$                   | kg               | Masse feuchter Stoff                   |
| $m_{tr}$                      | kg               | Masse trockener Stoff                  |
| C                             | _                | Term                                   |
| d                             | _                | Term                                   |
| n                             | _                | Anzahl                                 |
| $m_{_{\scriptscriptstyle W}}$ | g                | Masse Wasser                           |
| p                             | mbar             | Druck                                  |
| $g(r_n)$                      | _                | Funktion                               |
| $K; K_1; K_2; K_3$            | _                | Term einer Reihengleichung             |
| $Y_0$                         | _                | Besselfunktion 1.Art,                  |
| v                             |                  | 0`Ordnung                              |
| f; g; h; i; j                 | _                | Term                                   |
| $m_{_{BP}}$                   | kg               | Masse der Bodenprobe                   |
| $m_z$                         | kg               | Masse Metallzylinder                   |
| $C_{p}$ , $BP$                | $J/(kg \cdot K)$ | spezifische Wärmekapazität             |
| r                             |                  | der Bodenprobe                         |
|                               |                  |  |

| $C_p$ , $Z$                   | $J/(kg \cdot K)$  | spezifische Wärmekapazität<br>des Edelstahlzylinders |
|-------------------------------|-------------------|--|
| *******                       | <b>11</b> 7/      | •  |
| $\dot{q}_R$                   | W/m               | Spezifische Wärmestrom durch<br>Rohrwand             |
| L                             | m                 | Länge  |
| $\dot{Q}_{HF}$                | W                 | Leistung durch Heizfläche                            |
| <i>V</i>                      | $m^3/h$           | Volumenstrom   |
| U                             | V                 | elektrische Spannung                                 |
| P                             | W                 | elektrische Leistung                                 |
| VL; RL                        | $^{\circ}C$       | Vorlauf- Rücklauftemperatur                          |
| $Au; A_0; A_{ges}$            | $m^2$             | untere Fläche, obere Fläche,                         |
| v 865                         |                   | Gesamtfläche   |
| au,                           | _                 | Koeffizienten für unteren                            |
|                               |                   | Bereich  |
| ao,                           | _                 | Koeffizienten für oberen                             |
|                               |                   | Bereich  |
| $\tilde{f}_u$                 | _                 | Regressionsfunktion für                              |
|                               |                   | unteren Bereich                                      |
| $	ilde{f_o}$                  | _                 | Regressionsfunktion für oberen                       |
|                               |                   | Bereich  |
| $t_A$ ; $t_E$ ; $t_1$ ; $t_B$ | h                 | Zeit Anfang; Zeit Ende, Zeit                         |
|                               |                   | Übergang; Bezugszeit                                 |
| $\widetilde{\dot{Q}}_K$       | W                 | Approximation des                                    |
|                               |                   | Leistungsgraphen auf Basis                           |
|                               |                   | der kalorischen Temp.                                |
| $R_{lpha;\lambda}$            | $(m^2 \cdot K)/W$ | Wärmedurchgangswiderstand                            |
| S                             | m                 | Dicke  |
| d                             | m                 | Durchmesser  |
| $Q_k$                         | J                 | Wärmemenge auf Basis der                             |
|                               |                   | kalorischen Temperatur                               |

# **Griechische Buchstaben**

| Zeichen Steinheit Bedeutung | Zeichen | SI-Einheit | Bedeutung |
|-----------------------------|---------|------------|-----------|
|-----------------------------|---------|------------|-----------|

| θ   | $^{\circ}C$       | Temperatur                        |
|---|-------------------|-----------------------------------|
| $\Theta$                                    | _                 | Dimensionslose Temperatur         |
| $\mu_{\scriptscriptstyle k}$                | _                 | Eigenwerte/Funktionswerte mit     |
|   |                   | Summationsindex                   |
| τ   | _                 | dimensionslose Zeit oder Fourier- |
|   |                   | Zahl                              |
| ho  | $kg/m^3$          | Dichte                            |
| λ   | $W/(m \cdot K)$   | Wärmeleitfähigkeit oder           |
|   |                   | Wärmeleitkoeffizient              |
| $\alpha_{K,S}$                              | $W/(m^2 \cdot K)$ | Wärmeübergangskoeffizient aus     |
|   |                   | Konvektion und Strahlung          |
| $\alpha_{\scriptscriptstyle K}$             | $W/(m^2 \cdot K)$ | Wärmeübergangskoeffizient aus     |
|   |                   | Konvektion                        |
| $\alpha_{_S}$                               | $W/(m^2 \cdot K)$ | Wärmeübergangskoeffizient aus     |
| 0   | 0.0               | Strahlung                         |
| $artheta_{artheta}$                         | $^{\circ}C$       | Oberflächentemperatur             |
| $artheta_U$                                 | $^{\circ}C$       | Umgebungstemperatur               |
| $\vartheta_{\scriptscriptstyle B}$          | $^{\circ}C$       | Bezugstemperatur                  |
| $\lambda_{Fl}$                              | $W/(m \cdot K)$   | Wärmeleitfähigkeit des Fluids     |
| δ   | m                 | Dicke                             |
| ω   | m/s               | Strömungsgeschwindigkeit          |
| V   | $m^2/s$           | kinematische Viskosität           |
| $\Delta 	heta$                              | K                 | Temperaturdifferenz               |
| γ   | 1/K               | isobarer                          |
|   |                   | Volumenausdehnungskoeffizient,    |
|   |                   | Wärmeausdehnungskoeffizient       |
| $\boldsymbol{\epsilon}_1$                   | _                 | Emissionszahl oder Emissionsgrad  |
| $\vartheta_{\scriptscriptstyle K}$          | $^{\circ}C$       | kalorische Temperatur             |
| $oldsymbol{arTheta}_{\scriptscriptstyle K}$ | _                 | dimensionslose kalorische         |
| 11  |                   | Temperatur                        |
| $	au^{ m e}$                                | h                 | Zeitkonstante, Relaxationszeit    |
| $\pi$                                       | _                 | Pi-Kreiszahl                      |
|   | $W/(m^2 \cdot K)$ | äußerer                           |
|   |                   |                                   |

 $\alpha_a$ 

| _                                  | TH// 2 IZ)        | Wärmeübergangskoeffizient                              |
|------------------------------------|-------------------|--|
| $\bar{\alpha}_i$                   | $W/(m^2 \cdot K)$ | innerer<br>Wärmgübergengskooffizient                   |
|                                    |                   | Wärmeübergangskoeffizient (Zeitmittelwert)             |
| 1                                  | W// V)            |  |
| λ<br>=                             | $W/(m \cdot K)$   | Wärmeleitfähigkeit                                     |
| $\overline{\vartheta}_{LN}$        | $^{\circ}C$       | logarithmische Mitteltemperatur                        |
| $\overline{\Theta}_{LN}$           | _                 | dimensionslose logarithmische                          |
| _                                  |                   | Mitteltemperatur                                       |
| $\Theta_{INT}$                     | _                 | dimensionslose integrale                               |
| _                                  |                   | Mitteltemperatur                                       |
| $\overline{\Theta}_{FR}$           | _                 | dimensionslose Mitteltemperatur mittels Funktionsreihe |
| ~                                  |                   |  |
| $\widetilde{\Theta}_{Ko}$          | _                 | Approximation der dimensionslose                       |
| 0                                  |                   | Kontakttemperatur<br>dimensionslose                    |
| $\Theta_0$                         | _                 | Oberflächentemperatur                                  |
| Δ                                  |                   | dimensionslose Mittentemperatur                        |
| $\Theta_{M}$                       | _                 | ·  |
| $\theta r_n$                       | _                 | dimensionslose Temperatur am                           |
| 0                                  | 9.0               | relativen Radius                                       |
| $9r_n$                             | $^{\circ}C$       | Temperatur am relativen Radius                         |
| $\Delta 	heta$                     | K                 | Temperaturdifferenz                                    |
| $\mu$                              | _                 | Eigenwerte   |
| $\alpha$                           | $W/(m^2 \cdot K)$ | Wärmeübergangskoeffizient                              |
| ν                                  | _                 | Differenz $[y_i - f(x_i)]$                             |
| $\tilde{\mathcal{V}}$              | $m^2/s$           | Approximation der kinematischen                        |
|                                    |                   | Viskosität   |
| ã                                  | $W/(m \cdot K)$   | Approximation der                                      |
|                                    |                   | Wärmeleitfähigkeit                                     |
| $artheta_{\!\scriptscriptstyle B}$ | $^{\circ}C$       | Bezugstemperatur                                       |
| γ                                  | 1/ <i>K</i>       | Wärmeausdehnungskoeffizient                            |
| ã                                  | $W/(m^2 \cdot K)$ | Approximation  |
|                                    |                   | Wärmeübergangskoeffizient                              |
| $\mu_1 \ldots \mu_k$               | _                 | Eigenwerte der Bessel-Funktion                         |
|                                    |                   |  |

| $1/\Delta \tau \infty$                    | _               | Totzeit im Unendlichen  |
|---|-----------------|---|
| $\Delta 	au$                              | _               | variable Totzeit  |
| $	au^{\mathrm{m}}$                        | _               | neue Zeitskala  |
| $oldsymbol{\phi}_w$                       | _               | massenbezogene  |
| ٥   | TT/// TZ)       | Feuchtigkeitsgehalt   |
| $\lambda_{max}$                           | $W/(m \cdot K)$ | maximale(r) Wärmeleitfähigkeit oder Wärmeleitkoeffizient          |
| $\phi_w$ , max                            | _               | maximaler massenbezogene<br>Feuchtigkeitsgehalt                   |
| <i>4</i> *                                |                 | dichtebezogene  |
| $\phi^*_{_{_{_{\scriptscriptstyle{W}}}}}$ | _               | Feuchtigkeitsgehalt   |
| ~   |                 | Approximation der   |
| $\widetilde{\Theta}_M$                    | _               | dimensionslosen Mittentemperatur                                  |
| á   | _               | definierter Term $[\ln(\lambda_{max} - \lambda)]$ durch           |
| Λ   |                 | Transformation  |
| $\phi$                                    | _               | definierter Term $\left(\frac{\phi_W}{\phi_{W,max}}\right)$ durch |
| 7   |                 | Transformation  |
|   |                 |   |
| $\dot{a}_0$                               | <del>-</del>    | definierter Term [ln(a <sub>0</sub> )]durch                       |
| , ,                                       |                 | Transformation  |
| $\phi_L$ ; $\phi_R$                       | _               | Randbedingungsfunktionen  |
| $\psi$                                    | _               | Anfangsbedingungsfunktion   |
| $\kappa$                                  | _               | Konstante (Term)  |
| $\Delta artheta_{\mathit{K},\mathit{U}}$  | K               | Temperaturdifferenz zwischen der                                  |
|   |                 | kalorischen Temperatur und  |
|   |                 | Umgebungstemperatur   |
| $\vartheta_{MT}$                          | K               | Temperatur mit  |
|   |                 | Mantelthermoelement   |
| $\Theta_{MT,gem.}$                        | K               | gemessene Temperatur mit  |
|   |                 | Mantelthermoelement   |
| ${9}_{MT,korr.}$                          | K               | korrigierte Temperatur mit  |
| 0   | • ~             | Mantelthermoelement   |
| $\vartheta_i$                             | $^{\circ}C$     | Innentemperatur   |
| ${ m 	heta}_{mittl.}$                     | $^{\circ}C$     | arithmetische Mitteltemperatur                                    |
|   |                 |   |

| $\bar{\vartheta}_{Fl}$      | $^{\circ}C$ | Thermodynamische                  |
|-----------------------------|-------------|-----------------------------------|
|                             |             | (logarithmische) Temperatur der   |
|                             |             | Flüssigkeit                       |
| $\bar{\vartheta}$           | $^{\circ}C$ | Mitteltemperatur                  |
| $\Theta_{M,korr.}$          | K           | korrigierte Mittentemperatur      |
| $\Theta_{\mathrm{O.korr.}}$ | K           | korrigierte Oberflächentemperatur |

Anmerkung: Einige Symbole in diesem Werk haben eine Mehrfachbedeutung.

# 1 Wissenschaftlicher Ansatz

Die kalorischen Zustandsgrößen von oberflächennahen Erdböden sollen mittels eines eigens dafür generierten Kalorimeters bestimmt werden. Mit dem Halleschen Kalorimeter wird die Anwendung der eindimensionalen, instationären Wärmeleitung verwirklicht und eine Analyse mit einem Tabellenkalkulationsprogramm zur Bestimmung der kalorischen Größen entwickelt. Die Eindimensionalität stellt einen Spezialfall der instationären Wärmeleitung dar und soll durch einen Messzylinder und einen Wärmeschrank realisiert werden.

Jede Bodenprobe hinterlässt im Halleschen Kalorimeter seine individuelle Wärmeflusskurve, die als kalorischer Fingerabdruck bezeichnet werden kann, und liefert den Zusammenhang zu der zugrundeliegenden physikalischen Gesetzmäßigkeit respektive dem wissenschaftlichen Ansatz in diesem Analyseverfahren.

Das Hallesche Kalorimeter nebst Software ist das Resultat der Applikation der Fourier'schen Differentialgleichung.

Für diesen Sonderfall (homogener Zylinder sowie der Invarianz von parametrisierten Größen) existiert die folgende modifizierte Fourier´sche Differentialgleichung.

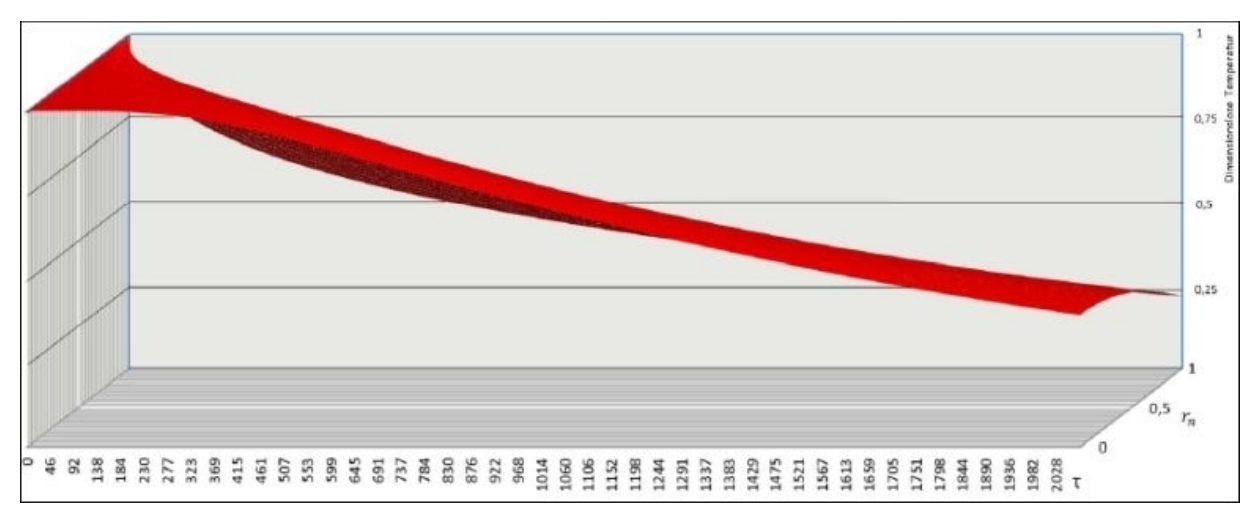
$$\frac{\partial \vartheta}{\partial t} = \frac{a}{r} \cdot \frac{\partial}{\partial r} \cdot \left( r \cdot \frac{\partial \vartheta}{\partial r} \right) \tag{1.1}$$

Mit Verwendung der Größen in dimensionsloser Form lässt sich die partielle Differentialgleichung wie folgt darstellen.

$$\frac{\partial \Theta}{\partial \tau} = \frac{1}{r_n} \cdot \frac{\partial}{\partial r_n} \cdot \left( r_n \cdot \frac{\partial \Theta}{\partial r_n} \right) \tag{1.2}$$

Der Separationsansatz von Bernoulli dient der Lösung partieller Differentialgleichungen mit mehreren Variablen und liefert bei dessen Anwendung unter Berücksichtigung der Anfangswertprobleme die allgemeine Gleichung [Baehr und Stephan, 2010], deren Herleitung im Anhang A1 näher ausgeführt ist.

$$\Theta(\tau, r_n) = \int_{k=1}^{\infty} \left\{ e^{-\mu_k^2 \cdot \tau} \cdot [K_k \cdot J_0(\mu_k \cdot r_n)] \right\}$$
 (1.3)



**Abb 1.1:** Temperaturverlauf über den Radius